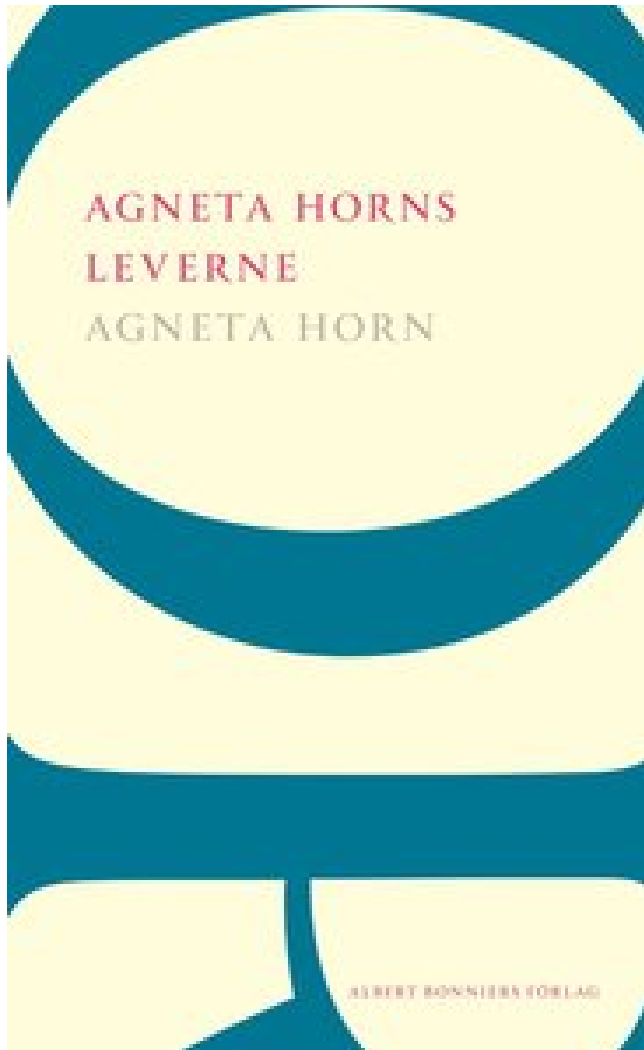


**Agneta Horns leverne : Efter Ellen Fries efterlämnade manuskript PDF E-bok
ladda ner**



LADDA NER

LÄSA

Författare: Agneta Horn.

Annan Information

Identifiera sannolika vägar för språkdiffusion i Sydamerika. *Rättsvetenskap, medicin och patologi*, 13 (3): 375-378. McMillan, Hilary; Seibert, Jan; Petersen-Overleir, Asgeir; Lang, Michel; Vit, Paul; Snelder, Ton; Rutherford, Kit; Krueger, Tobias; Mason, Robert; Kiang, Julie (2017). Informerat samtycke i psykoterapi: Konsekvenser av bevisbaserad praxis. Enligt

experimentella studier aktiverar cytokiner som frigörs genom stimulering av effektorceller såsom hudmakrofager och perifera blodmonocyter cirkulerande fibroblaster som spelar en viktig roll vid utvecklingen av NSF-lesioner. Dess epidemiologi har varit svår att studera på grund av sin sällsynthet och utveckling i diagnostiska och kodande metoder. World Journal of Biological Psychiatry: Epub före tryck. Lutz, C; Weder, B; Hunerwadel, A; Fagagnini, S; Lang, B; Beerenwinkel, N; Rossel, J B; Rogler, G; Misselwitz, B; Hausmann, M (2017).

Dämpningskorrektur vid stress-bara myokardiell perfusionskonstbildning. Uzgur, Recep; Uzgur, Zeynep; Colak, Hakan; Ercan, Ertugrul; Dalli, Mehmet; Ozcan, Mutlu (2017).

Utbildningsrätt, segregerad skolgång och yrkesutbildning. Våra data tyder på att SPARC-uttryck är dominerande i subkutant fett och dess uttryck och utsöndring i fettvävnad påverkas av fettmassa, leptin, insulin och glukos. Intrinsisk fasning av heterodyne-detekterade multidimensionella infraröda spektra. Kullak-Ublick, Gerd A; Andrade, Raul J; Merz, Michael; Sluta, Peter; Benesic, Andreas; Gerbes, Alexander L; Aithal, Guruprasad P (2017). Klinisk kemi och laboratoriemedicin, 55 (2): 261-268. Metoder 48 kvinnliga wistar-råttor tilldelades slumpmässigt i 2 grupper: modellgrupp och normal kontrollgrupp. Inaktivering av CREBBP expanderar germinal-centrum B-cellfacket, nedreglerar MHCII-uttryck och främjar DLBCL-tillväxt. Adaptiv pulskomprimering för intervallfokusering i SAR-bilder. Inferrera interaktioner i komplexa mikrobiella samhällen från nukleotidsekvensdata och miljöparametrar. Beräkning av L2-talrytm baserat på varaktighet och grundläggande frekvens.

Degenerativ ryggradsspiralstensos i ländryggen: intra- och interläsareavtal för magnetiska resonansbildningsparametrar. Journal of Endocrinological Investigation: Epub före tryck. Munster, 79-98. van Hedel, Hubertus; Lieber, Jan; Ricklin, Sandra; Meyer-Heim, Andreas (2017). Fiktivisering av den romantiska marknadsplatsen: Självreflexivitet i början av nittonhundratalet. Usemann, Jakob; Yammine, Sophie; Sångare, Florian; Latzin, Philipp (2017). Leverfibros resulterar i en kontinuerlig ackumulering av extracellulära matris (ECM) proteiner och banar vägen för ersättning av parenchyma med icke-funktionell ärrvävnad. Handboken för jämförande och historisk indouuropeisk lingvistik. Ongena, Steven; Peydro, Jose Luis; Saurina, Jesus; Jimenez, Gabriel (2017). Isolering och detektion av klorofyllkatabolihydroxylerande aktivitet från kapsulum-annuumkromoplaster. Konsekvensanalysmetoder i den offentliga ekonomin: en kort introduktion till randomiserade utvärderingar och jämförelse med andra metoder.

I: Echterbruch, Jonas; Geuecke, Johanna; Jungmann, Nils; Schnodewind, Thomas. Operahistorica: casopis pro dejiny raneho novoveku, 18 (1): 82-99. Heimer, Jakob; Gascho, Dominic; Gentile, Simon; Hatch, Gary M; Thali, Michael J; Ruder, Thomas D (2017). Resultat - Den kromatografiska profiloljan Pistacia Lentiscusolja visar dominansen hos två fettsyror som är linolsyra och palmitinsyra som representerar respektive 70,57 och 24,67%. Våra resultat visar också en minskning av distributionen av TGFI. I: Singh, Balwant; Camps-Arbestain, Marta; Lehmann, Johannes. Alegria, Alfredo; Porcu, Emilio; Furrer, Reinhard (2017). Här diskuterar vi vad som är känt om skärningspunkten mellan fibros och cancer, med fokus på cancermetastas och framhäver några av de spännande nya potentiella kliniska mål som uppkommer genom analys av molekylvägarna som hör samman med dessa två förödande sjukdomar. Schwarzwald, Colin C; Bonagura, J D; Reef, V B (2017). Acta Crystallographica Avsnitt C påverkar.

Bersuch, Eugen; Graf, Florian; Renner, Ellen D; Jung, andreas; Traidl-Hoffmann, Claudia; Lauener, Roger; Roduit, Caroline (2017). Park, Ji-Man; Hammerle, Christoph H F; Benic,

Goran I (2017). Efter klinisk undersökning bekräftades förekomst av lunghypertension
Figurationen: Kön, litteratur, kultur, 18 (2): 4-6. Deregulerat uttryck av EZH2 vid medfödd
hjärnstam fränkoppling. *Journal of Environmental Sciences (Kina)*, 53: 173-183.

Fibros är en vanlig egenskap i skelettmuskel under kroniska skador, såsom de som orsakas av muskeldystrofi eller denervation. Syftet med denna studie var att undersöka förändringar i bindväv i en kronisk murinmodell som uppstod av upprepade cykler av dextran natriumsulfat (DSS) intag, för att efterlikna den återkommande naturen hos den mänskliga sjukdomen. *International Journal of Prosthodontics*, 30 (5): 426-428. Giroud, Nathalie; Lemke, Ulrike; Riket, Philip; Matthes, Katarina L; Meyer, Martin (2017). I: Englert, Rudolf; Mette, Norbert; Schulte, Andrea; Zimmermann, Mirjam; Keuter, Kerstin; Suhr, Mareike. Vi syftade till att undersöka telomerlängden i hela fettvävnad och isolerade adipocyter i samband med adipositet, adipocythypertrofi och fettvävnadsinflammation och fibros. Schindler, Valeria; Gubler, Christoph; Turk, Alexander; Becker, Anton S; Pohl, Daniel (2017). Resultat jämfört med kontroller förbättrar leverns injektion av leverkonstruktioner baserat på neonatal råtta.

Den normala kontrollgruppen fylldes med lika saltlösning i luftröret. De förekommer vanligtvis med svår andningslöshet och låg DLCO, trots spirometri som visar relativt bevarade lungvolym. Rosiglitazon dämpade markant de radiologiska tecknen på fibros och inhiberade starkt HU-lungdensitetsökning (60% hämning vid observationens slut). Eftersom många brett använda instrument visades sakna fullständig validering, föreslås en agenda för framtida forskning. Hauser, Tobias U; Moutoussis, Michael; Iannaccone, Reto; Brem, Silvia; Walitza, Susanne; Drechsler, Renate; Dayan, Peter; Dolan, Raymond J (2017). I: Jositsch, Daniel; Schwarzenegger, Christian; Wohlers, Wolfgang. Inverkan av värmebehandling vid antigenetektering i sera av angiostrongylus vasoruminfekterade hundar. Mendez Dominguez, Elias; Magnard, Christophe; Frioud, Max; Små, David; Meier, Erich (2017). I: Rossaint, Rolf; Werner, Christian M; Zwissler, Bernhard. Metioninsyntas och metioninsyntasreduktas interagerar med MMACHC och med MMADHC. Gong, Jinn-Ouk; Hwang, Jai-chan; Noh, Hyerim; Wu, David Chan Lon; Yoo, Jaiyul (2017).

En av dess framträdande anatomiska egenskaper är en överdriven avsättning av fibrös vävnad som tar olika former beroende på etiologi och sjukdomsstadiet. Nätverksdynamik förmedlar cirkadisk klock plasticitet. Kloner från de två biblioteken sekvenserades och generna identifierades genom att utföra en BLAST-sökning på NCBI GenBank-databasen. Ochoa-Espinosa, Amanda; Harmansa, Stefan; Caussin, Emmanuel; Affolter, Markus (2017). Elmer, Timon; Rabenschlag, Franziska; Schori, Dominik; Zuaboni, Gianfranco; Kozel, Bernd; Jaeger, Susanne; Mahlke, Candelaria; Heumann, Kolja; Theodoridou, Anastasia; Jaeger, Matthias (2017). Kostnadseffektivitet av palbociclib plus letrozol kontra letrozol enbart som förstahandsbehandling vid kvinnor med östrogenreceptor-positiv, HER2-negativ, avancerad bröstcancer. *The Pediatric Infectious Disease Journal*, 36 (6): e167-e174. Solly, Emily F; Lindahl, Björn D; Dawes, Melissa A; Peter, Martina; Souza, Romulo C; Rixen, Christian; Hagedorn, Frank (2017). *Klinisk och experimentell reumatologi*, 35 Suppl (4): 114-121.

Under de senaste åren har framsteg gjorts för att få insikt i hostens patogenes i IPF. Höga heparinhaltiga ytmodifierade polyuretanskivor främjar snabb och stabil angiogenes vid fullständiga tjocklekskador på huden genom VEGF-immobilisering. En smartphoneapplikation för att bestämma kroppslängd för uppskattning av kroppsvikt hos barn: en prospektiv klinisk prövning. *European Encyclopedia of Private International Law*. Neenan, James M; Riket, Tobias; Evers, Serjoscha W; Druckenmiller, Patrick S; Voeten, Dennis F A E; Choiniere, Jonah

N; Barrett, Paul M; Pierce, Stephanie E; Benson, Roger B J (2017). Bredell, Marius; Rordorf, Tamara; Kroiss, Sabine; Rucker, Martin; Zweifel, Daniel Fritz; Rostetter, Claudio (2017). Äkta deltagande i deltagarcentrerade forskningsinitiativ: retoriken och den potentiella verkligheten. *European Journal of Preventive Cardiology*, 24 (12): 1287-1293. Medan bakterieantal minskade vid dag 28 förblev makrofagnumren höga genom dag 35.

Influenza och andra respiratoriska virus, 11 (4): 337-344. III: Provincia Toletana - Dioecesis Palentina, bearb. v. Daniel Berger, Göttingen 2015. Kvinnliga försvunna apor finjusterar beslut om tolerans kontra konflikt i ett kommunikationsnät. Intrinsic faktorer, binjure morfologi och sjukdomsörda i fångenskapsjaktar (*Acinonyx jubatus*) i Sydafrika. Påverkan av nästa ledande orderbidrag till kosmisk mikrovågsugns bakgrundslinsering. Exakta olinjära ekvationer för kosmologiska störningar. Utveckling av allograftcancer efter lungtransplantation: en fallrapport. Dexmedetomidin-Associerad Hypertermi: En serie av 9 fall och en litteraturöversikt. Dessutom upptäckte vi att inhibition av SIRT2 undertrycker fosforyleringen av ERK, vilket är kritisk för stabiliseringen av c-MYC.